

3. 横方向の構造解析

横方向のモデルは、図-3によった。このモデルにより、 k_1 (レールとまくらぎの間の単位横ばね定数)と k_2 (まくらぎと道床の間の単位横ばね定数)に対する Z (レール変位)および \bar{Z} (まくらぎ変位)の関係を求めると、

$$Z = 2.02 k_1 \begin{matrix} -0.23 \\ -0.58 \end{matrix} \cdot k_2 \quad (r = 0.99) \text{-----} \textcircled{2}$$

$$\bar{Z} = 0.54 k_1 \begin{matrix} 0.01 \\ -0.76 \end{matrix} \cdot k_2 \quad (r = 1.00) \text{-----} \textcircled{3}$$

となった。

Z と \bar{Z} の日野実験所における実験結果から、 $\textcircled{2}$ ・ $\textcircled{3}$ 式を用いて輪重40・60・80kNに対する横圧毎の単位ばね定数(k_1 ・ k_2)を求めて、弾性比例

限度におけるばね定数を推定すると表-3となった。この値は、一般軌道の平均的な値と考えられている、 $k_1 = 70 \text{ kN/cm}^2$ ・ $k_2 = 3 \text{ kN/cm}^2$ と比較すると小さめであるが、これは、試験箇所のまくら木の犬くぎ支持状態が一般軌道と比較して緩かったためであったと考えられる。

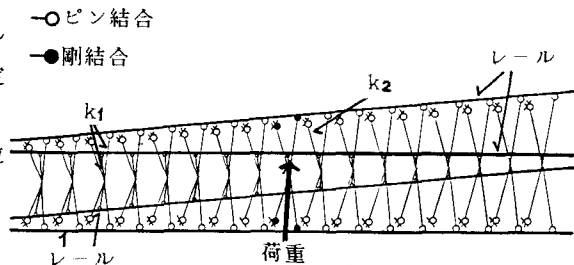


図-3 リード部のモデル(横方向)

表-3 ばね定数の推定値

	k_1 (kN/cm ²)			k_2 (kN/cm ²)		
輪重(kN)	40	60	80	40	60	80
ばね定数	9	17	19	0.17	0.23	0.33

4. リード部の横圧限度決定のための諸定数の推定

前節までの検討結果から、日野で実験した分岐器について、まくらぎとレールの間の摩擦係数(η)と犬くぎ限界支持力(Sh)を求めると表-4となった。その結果、(1) η の値は一般軌道の平均的な値と比較して妥当であり、(2) Sh については、若干小さい値であった。これは k_1 ・ k_2 の値が小さかったことと同じ理由によると考えられた。

表-4 推定された η と Sh の値

輪重	40 kN	60 kN	80 kN
η	0.69	0.85	0.86
Sh (kN)	2.31	2.65	2.82

5. まとめ

分岐器リード部の試験結果を元にして、FEMによりばね定数(k ・ k_1 ・ k_2)を求め、これにより横圧限度式の η ・ Sh を求めた。その結果、それぞれについて妥当な値が得られ、検討に用いたFEMモデルによる構造解析は有用であると考えられた。

参考文献

- 1) 矢野雄一・篠田七次:「分岐器の横圧強度とその補強効果確認試験結果」, 鉄道技術研究所速報 No. A-84-121 1984年 8月
- 2) 近藤邦広・梅田静也:「併設軌道の力学的挙動とレール締結装置に関する検討」, 鉄道技術研究所速報 No. A-83-91 1983年 7月
- 3) 佐藤裕:「横圧に対する軌道強度の研究」, 鉄道技術研究所報告 No. 110 Feb. 1960
- 4) 尾高達男:「ガイドウェイ試験装置による土路蓋上有道床軌道の特性試験結果の解析」, 鉄道技術研究所速報 No. A-85-183 1985年10月
- 5) 内田雅夫他:「高崎線における軌道破壊軽減対策効果確認試験結果」, 鉄道技術研究所速報 No. A-83-119 1983年 9月